

Triode mit Quecksilberdampf­füllung

Mercury-vapour triode

Triode avec remplissage à vapeur de mercure

Triode con relleno de vapor de mercurio

Glasausführung

Glass type

Exécution verre

Tipo de vidrio

Kathode

Cathode

Cathode

Cátodo

direkt geheizt

directly heated

à chauffage direct

caldeado directamente

Montageanordnung: senkrecht mit dem Sockel nach unten

Mounting Position: Vertical, base down

Disposition de montage: verticale avec socle dirigé vers le bas

Para montaje: vertical con portaválvula hacia abajo

Gewicht

Approx. net weight

Poids

Peso

0,08 kg

0,18 lbs

a = Anode

Anode

Anode

Anodo

g = Steuergitter

Control grid

Grille de réglage

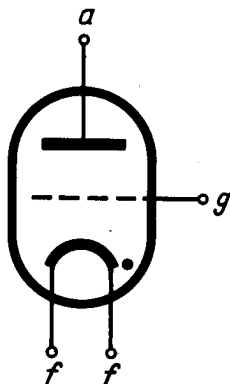
Rejilla de mando

f = Heizung

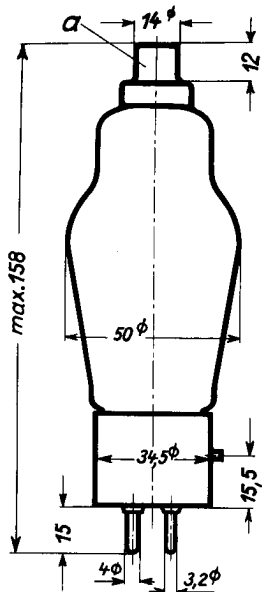
Filament

Filament

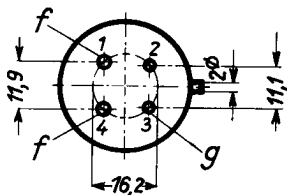
Filamento



Abmessungen
Dimensions
Dimensiones } mm



Sockelansicht von unten
Bottom view of socket
Socle vu du bas
Portaválvula vista desde abajo



Freie Kontakte der Fassung dürfen nicht als Stützpunkte für Schaltmittel benutzt werden.

Free socket contacts must not be used for supporting any circuitry.

Les contacts libres de la douille ne doivent pas servir de points d'appui pour l'appareillage de connexion.

Los contactos libres de los portalámparas no deben ser empleados como puntos de apoyo para elementos de conexión.

Technische Werte Technical data Caractéristiques techniques Datos técnicos

Heizspannung

Filament voltage
Tension de chauffage
Tensión de caldeo

 U_f 2,5 V**Heizstrom**

Filament current
Courant de chauffage
Corriente de caldeo

ca.
abt.
env.
aprox. } J_f 7 A

Toleranz der Heizspannung

Max. permissible filament voltage fluctuations
Fluctuation admissible de la tension de chauffage
Tolerancia de la tensión de caldeo

 $\max. \pm 5\%$ **Anheizzeit**

Cathode-heating time
Durée de chauffage
Tiempo de precaldeo

 t_f min. 30 sec.**Anodenspannung (Scheitelwert)**

Anode voltage (crest value)
Tension anodique (valeur de crête)
Tensión anódica (valor cresta)

 U_a max. 2,5 kV**Sperrspannung (Scheitelwert)**

Inverse voltage (crest value)
Tension d'arrêt (valeur de crête)
Tensión de bloqueo (valor cresta)

 $U_{inv.}$ max. 5 kV**Anodenstrom (Scheitelwert)**

Anode current (crest value)
Courrant anodique (valeur de crête)
Corriente anódica (valor cresta)

bei } $U_{inv.}$ 5 kV $I_{max.}$ 2 A
at } $U_{inv.}$ 2,5 kV $I_{max.}$ 4 A
à }
en }

Anodenstrom (Mittelwert)

Anode current (average)
Courant anodique (valeur moyenne)
Corriente anódica (valor medio)

bei } $U_{inv.}$ 5 kV I_a max. 0,5 A
at } $U_{inv.}$ 2,5 kV I_a max. 1 A
à }
en }

Steuergitterspannung bei gesperrter Röhre (Scheitelwert)

Negative control grid bias of non-conducting tube (crest value)
Tension de grille régulatrice pour tube non allumé (valeur de crête)
Tensión de rejilla de mando con válvua no encendida (valor cresta)

 U_g max. - 500 V

Steuergitterstrom (Scheitelwert)

Control grid current (crest value)
 Courant de grille (valeur de crête)
 Corriente de rejilla (valor cresta)

$$\left. \vphantom{\begin{array}{l} \text{Control grid current (crest value)} \\ \text{Courant de grille (valeur de crête)} \\ \text{Corriente de rejilla (valor cresta)} \end{array}} \right\} \hat{i}_g \text{ max. } 0,05 \text{ A}$$

Steuergitterstrom (Mittelwert)

Control grid current (average)
 Courant de grille (valeur moyenne)
 Corriente de rejilla (valor medio)

$$\left. \vphantom{\begin{array}{l} \text{Control grid current (average)} \\ \text{Courant de grille (valeur moyenne)} \\ \text{Corriente de rejilla (valor medio)} \end{array}} \right\} I_g \text{ max. } 0,01 \text{ A}$$

Gitterwiderstand

Max. grid resistance
 Résistance de grille
 Resistencia de rejilla

$$\left. \vphantom{\begin{array}{l} \text{Max. grid resistance} \\ \text{Résistance de grille} \\ \text{Resistencia de rejilla} \end{array}} \right\} R_g \text{ max. } 100 \text{ k } \Omega$$

Spannungsabfall an der gezündeten Röhre

Arc drop
 Chute de tension
 Caída de tensión

$$\left. \vphantom{\begin{array}{l} \text{Arc drop} \\ \text{Chute de tension} \\ \text{Caída de tensión} \end{array}} \right\} U_B \quad 15 \text{ V}$$

Integrationszeit

Integration time
 Temps d'intégration
 Tiempo de integración

$$\left. \vphantom{\begin{array}{l} \text{Integration time} \\ \text{Temps d'intégration} \\ \text{Tiempo de integración} \end{array}} \right\} \tau \text{ max. } 15 \text{ sec.}$$

Jonisationszeit

Ionisation time
 Temps d'ionisation
 Tiempo de ionización

$$\left. \vphantom{\begin{array}{l} \text{Ionisation time} \\ \text{Temps d'ionisation} \\ \text{Tiempo de ionización} \end{array}} \right\} t_i \quad 10 \mu \text{ sec.}$$

Freiwerdzeit

Recovery time
 Temps de recouvrement
 Tiempo de recobro

bei
 at
 à
 en

$$\left. \vphantom{\begin{array}{l} \text{Recovery time} \\ \text{Temps de recouvrement} \\ \text{Tiempo de recobro} \end{array}} \right\} \begin{array}{l} U_g = - 10 \text{ V} \\ U_g = - 100 \text{ V} \end{array}$$

$$\left. \vphantom{\begin{array}{l} \text{Recovery time} \\ \text{Temps de recouvrement} \\ \text{Tiempo de recobro} \end{array}} \right\} \begin{array}{l} t_r \quad 400 \mu \text{ sec.} \\ t_r \quad 100 \mu \text{ sec.} \end{array}$$

Gitteranoden-Kapazität

Grid-anode capacity
 Capacité d'anode de grille
 Capacidad del ánodo de rejilla

$$\left. \vphantom{\begin{array}{l} \text{Grid-anode capacity} \\ \text{Capacité d'anode de grille} \\ \text{Capacidad del ánodo de rejilla} \end{array}} \right\} C_{ag} \quad 3,6 \text{ pF} \\ (\mu\mu\text{F})$$

Eingangs-Kapazität

Grid-filament capacity
 Capacité a'entrée
 Capacidad rejilla filamento

$$\left. \vphantom{\begin{array}{l} \text{Grid-filament capacity} \\ \text{Capacité a'entrée} \\ \text{Capacidad rejilla filamento} \end{array}} \right\} C_g \quad 5 \text{ pF} \\ (\mu\mu\text{F})$$

Ausgangs-Kapazität

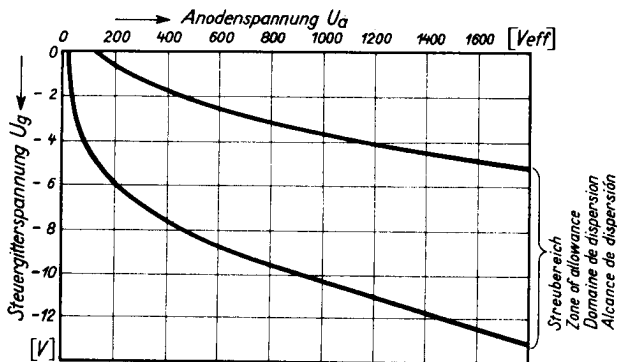
Anode-filament capacity
 Capacité de sortie
 Capacidad ánodo-filamento

$$\left. \vphantom{\begin{array}{l} \text{Anode-filament capacity} \\ \text{Capacité de sortie} \\ \text{Capacidad ánodo-filamento} \end{array}} \right\} C_a \quad 0,2 \text{ pF} \\ (\mu\mu\text{F})$$

Umgebungstemperatur

Ambient temperature
 Température ambiante
 Temperatura de ambiente

$$\left. \vphantom{\begin{array}{l} \text{Ambient temperature} \\ \text{Température ambiante} \\ \text{Temperatura de ambiente} \end{array}} \right\} \begin{array}{l} \text{min. } +15^\circ \text{ C} \\ \text{max. } +35^\circ \text{ C} \end{array}$$



Zündkennlinienbereich bei einer großen Zahl von Röhren gemessen. Zündkennlinie stellt Steuergitterspannung U_g in Abhängigkeit von der Anodenwechselspannung U_a (Effektivwert) am Zündpunkt dar.

Band of ignition characteristics as determined from measurements of a multitude of tubes.

Breakdown characteristic presents grid potential U_g as function of anode voltage (effective) U_a at firing point.

Domaine des caractéristiques d'allumage d'eterminé sur un grand nombre de tubes. La caractéristique d'allumage représente la tension de grille U_g en fonction de la tension alternative anodique (valeur effective) au point d'allumage.

Alcance de las características de ignición determinado en gran número de válvulas medidas.

La característica de ignición representa la tensión de rejilla de mando U_g en dependencia de la tensión alterna anódica U_a (valor eficaz) en el punto de ignición.